

(HUANJING KEXUE)

## ENVIRONMENTAL SCIENCE

第37卷 第11期

Vol.37 No.11

**2016** 

中国科学院生态环境研究中心 主办

科学出版社出版



## 採 施 静 享 (HUANJING KEXUE)

### ENVIRONMENTAL SCIENCE

第37卷 第11期 2016年11月15日

### 目 次

承德市大气污染源排放清单及典型行业对 PM <sub>2.5</sub> 的影响 陈国磊,周颖,程水源,杨孝文,王晓琦(4069)
浙江省木制品行业挥发性有机物排放特征及排放系数 ························· 姚轶,王浙明,何志桥,徐志荣,顾震宇(4080)
浙江省木制品行业挥发性有机物排放特征及排放系数 ····································
某化工区典型高污染过程 VOCs 污染特征及来源解析 ············ 高松,崔虎雄,伏晴艳,高爽,田新愿,方方,衣学文(4094)
加油 VOCs 排放因子测试方法研究与应用 黄玉虎,常耀卿,任碧琪,秦建平,胡玮,刘明宇(4103)
北京市生活垃圾填埋场氨排放特征研究 崔彤,李金香,杨妍研,程刚(4110)
加油 VOCs 排放因子测试方法研究与应用               黄玉虎, 常耀卿, 任碧琪, 秦建平, 胡玮, 刘明宇(4103) 北京市生活垃圾填埋场氨排放特征研究               崔彤, 李金香, 杨妍研, 程刚(4110) 西安市人为源大气氨排放清单及特征
佛山市冬夏季非甲烷烃污染特征研究 周雪明,项萍,段菁春,贺克斌,马永亮,邓思欣,司徒淑娉,谭吉华(4124)
天津市道路环境大气颗粒物水溶性无机离子分析 赵梦雪,吴琳,方小珍,杨志文,李凤华,毛洪钧(4133)
戴云山国家级自然保护区大气氮沉降特点 袁磊,李文周,陈文伟,张金波,蔡祖聪(4142)
青岛近海冬季大气生物气溶胶中微生物活性研究 孟祥斌,李孟哲,李鸿涛,高冬梅,祁建华(4147)
玉米秸秆烟尘中正构脂肪酸的分子与碳同位素组成 刘刚,孙丽娜,徐慧,李久海,李中平,李立武(4156)
极低风速条件下水-气界面甲烷气体传输速率分析
典型水库型湖泊中 CDOM 吸收及荧光光谱变化特征:基于沿岸生态系统分析 ······
陈雪霜,江稻,卢松,白薇扬,张成,王定勇,魏世强(4168)
四召溪支流河口水体宫赤盐的特征及源贡献分析···························· 陈诗文,袁旭音,金晶,李止阳,许海燕(4179)
周村水库主库区热分层初期氮素降低的驱动因子分析 张春华,黄廷林,方开凯,周石磊,夏超(4187)
太湖湖泛易发区沉积物中有机磷形态分布特征 ·······················董丹萍,章婷曦,张丁予,王巧云,李德芳,王国祥(4194) 多重扰动对湖泊内源磷迁移转化的影响 ····································
多重扰动对湖泊内源磷迁移转化的影响 蔡顺智,李大鹏,王忍,刘焱见,徐垚,于胜楠,黄勇(4203)
丹江口库区覆膜耕作土壤氮素淋失随夏玉米生长期的变化 王伟,于兴修,汉强,刘航,徐苗苗,任瑞,张家鹏(4212)
营养盐恢复对氮磷饥饿铜绿微囊藻生长的影响 岳冬梅,李洁,肖琳(4220)
氯灭活地下水源中3种优势真菌的效能与机制 文刚,朱红,黄廷林,赵建超,任崴,徐向前(4228)
净水工艺对饮用水中微生物多重耐药性的影响与分析 马晓琳,陆洋,王钰,侯誉,白晓慧(4235)
单过硫酸氢钾复合粉在饮用水消毒过程中的副产物生成特性及遗传毒性变化 敖秀玮,李豪杰,刘文君,余京儒(4241)
三维有序介孔 Co <sub>3</sub> O <sub>4</sub> 非均相活化单过硫酸氢钾降解罗丹明 B ·······
冯善方,邓思萍,杜嘉雯,马晓雁,卢遇安,高乃云,邓靖(4247) 调控絮体形态强化电絮凝减缓膜污染 赵凯,杨春风,孙境求,李静,胡承志(4255)
调控案体形态强化电案凝减缓膜污染 ····································
初始 pH 值对序批式 CANON 工艺脱氮效果和 N <sub>2</sub> O释放的影响 ····································
3DBER-S-Fe 同步脱氮除磷及去除邻苯二甲酸酯的工艺特性 ····································
基于反硝化脱氮的硫铁复合填料除磷机制 范军辉, 郝瑞霞, 李萌, 朱晓霞, 万京京(4275)
基于 ABR-MBR 组合工艺优化反硝化除磷性能的研究 ······· 程朝阳,赵诗惠,吕亮,吴鹏,沈耀良(4282)中常温变化对 PN-ANAMMOX 联合工艺脱氮效果的影响 袁砚,朱亮(4289)
中常温受化对 PN-ANAMMUX 联合工艺脱数双来的影响
生物活性炭对不同 C/N 比废水同步硝化反硝化脱氮效果的影响 崔延瑞,邱鑫,张庆荣,王琦,吴青,孙剑辉(4296)
ANAMMOX 菌利用零价铁还原硝酸盐脱氮研究 周健,完颜德卿,黄勇,刘忻,袁怡,李祥,姚鹏程,杨朋兵,薛鹏程(4302)
间歇曝气 SBR 与传统 SBR 处理养猪沼液的比较研究 ············董宝刚,宋小燕,刘锐,川岸朋树,张永明,陈吕军(4309) 应用解蛋白菌生物预水解剩余污泥 ·························· 何品晶,王颖,胡洁,吕凡,邵立明(4317)
应用环境多介质逸度模型研究废旧电器拆解区多溴联苯醚的迁移及归趋 薛南冬,陈宣宇,杨兵,秦普丰,龙雨(4326)
应用外現多升灰速及模型研光版自电益价牌应多模块本醛的过移及归起 ·········· 眸宵冬,陈亘于,彻兴,采音干,龙雨(4320) 南宁市多环境介质中多环芳烃分布特征 ····································
杭州城区室内灰尘中多溴联苯醚的含量及人体暴露水平 金漫形, 滕丹丹, 郑艳霞, 胡张璇, 沈学优, 金赞芳(4341)
应用线性自由能关系估算药用活性化合物的生物碳质-水吸附系数
表流湿地细菌群落结构特征
城市污水中硝化菌群落结构与性能分析 于莉芳,杜倩倩,傅学焘,张茹,李文江,彭党聪(4366)
DNA 和 cDNA 水平对比研究施肥对稻田土壤细菌多样性的影响 王聪,吴讷,侯海军,汤亚芳,沈健林,秦红灵(4372)
培养条件下双酚 A 对稻田土壤微生物群落特征的影响 刘畅,黄雅丹,张莹,靳振江,梁月明,宋昂,王腾,郭佳怡,李强(4380)
1株兼具好、厌氧汞甲基化能力细菌的分离鉴定
北京地区菜田土壤抗生素抗性基因的分布特征 张兰河,王佳佳,哈雪姣,邱孟超,高敏,仇天雷,王旭明(4395)
梅花鹿养殖场抗生素抗性基因分布特征 黄福义,安新丽,陈青林,任红云,苏建强(4402)
几种高硅质矿物细颗粒的 A549 细胞毒性对比 ·····················霍婷婷,董发勤,邓建军,张青碧,贺小春,孙东平(4410)
添加复合吸附剂对 <b>送</b> 土吸附菲和Cr(VI)的影响 ************************************
生物炭对西北黄土吸附壬基酚的影响 张振国,蒋煜峰,慕仲锋,孙航,周琦,展惠英(4428)
集雨种植下不同沟垄比对土壤呼吸的影响及其对水热因子的响应 … 王昌江,施成晓,冯帆,陈婷,张磊,吕晓康,吴伟,廖允成(4437)
秸秆还田与化肥减量配施对稻-菜轮作下土壤养分及酶活性的影响
《环境科学》征稿简则(4161) 《环境科学》征订启事(4365) 信息(4123,4132,4409)
which was a second of the seco

### 中常温变化对 PN-ANAMMOX 联合工艺脱氮效果的 影响

袁砚<sup>1,2</sup>,朱亮<sup>1,2</sup>

(1. 苏州科技大学环境科学与工程学院,苏州 215009; 2. 苏州科技大学环境生物技术研究所,苏州 215009)

摘要:通过接种成熟的亚硝化膜和厌氧氨氧化污泥,研究了中常温变化对 PN-ANAMMOX 联合工艺脱氮速率的影响及微生物群落的变化.结果表明,常温下能够实现 PN-ANAMMOX 联合脱氮,并且脱氮速率达到 0.5 kg·(m³·d) <sup>-1</sup>.但是 PN 过程亚硝化速率下降, ANAMMOX 菌活性未得到充分发挥,导致 PN-ANAMMOX 联合工艺脱氮速率远低于中温条件下的 1.75 kg·(m³·d) <sup>-1</sup>,出水水质较差.温度的上升易导致 NOB 的快速生长, PN 过程失稳,但是通过增加回流量可对 NOB 的活性进行有效地控制.QPCR分析结果进一步表明接种中温环境下的 AOB 和 ANAMMOX 微生物在常温条件下不利于生长,出现部分死亡;当恢复到中温的环境时,相应的功能微生物出现了快速地生长.因此,在 PN-ANAMMOX 联合工艺的运行过程中应尽可能地满足功能微生物适宜的温度.

关键词: 厌氧氨氧化; 部分亚硝化; 联合工艺; 温度; 生物群落

中图分类号: X703.5; TQ028.8 文献标识码: A 文章编号: 0250-3301(2016)11-4289-07 DOI: 10.13227/j. hjkx. 201605011

# Effect of Moderate and Room Temperature on Nitrogen Removal in PN-ANAMMOX Process

YUAN Yan<sup>1,2</sup>, ZHU Liang<sup>1,2</sup>

(1. School of Environmental Science and Engineering, Suzhou University of Science and Technology, Suzhou 215009, China; 2. Institute of Environmental Biotechnology, Suzhou University of Science and Technology, Suzhou 215009, China)

Abstract: The effect of moderate and room temperature on nitrogen removal rate and microbial community was studied in PN-ANAMMOX process by inoculating mature nitrification membrane and ANAMMOX sludge. The results showed that the PN-ANAMMOX combined process was achieved at room temperature, and the nitrogen removal rate reached 0.5 kg·(m³·d)<sup>-1</sup>. But the activity of ANAMMOX did not reach its maximum due to the decreased NO<sub>2</sub><sup>-</sup>-N production rate, resulting in far lower nitrogen removal rate of PN-ANAMMOX than that at moderate temperature which reached 1.75 kg·(m³·d)<sup>-1</sup>, and the effluent had poor water quality. When the temperature rose, the NOB grew rapidly, the PN process became unstable, but the activity of NOB could be effectively controlled by increasing the return flow. The results of QPCR analysis showed that the inoculation of AOB and ANAMMOX was not conducive to the growth at room temperature, and part of the microorganisms died. When the environment was recovered to moderate temperature, the corresponding functional microorganisms appeared to grow rapidly. Therefore, suitable temperature should be provided for the microorganisms during the operation of the PN-ANAMMOX combined process.

Key words: ANAMMOX; partial nitrification; combined process; temperature; microbial community

厌氧氨氧化 (anaerobic ammonium oxidation, ANAMMOX) 技术因具有无需有机碳源及氧的供给等优势得到了人们的一致认可,并且被认为是最经济高效的脱氮工艺 $^{[1,2]}$ . ANAMMOX 反应需要NO $_2^-$ -N作为电子受体,因此绝大部分联合工艺均采用短程硝化 (partial nitrification, PN)作为ANAMMOX 的前置工艺 $^{[3,4]}$ . 目前, PN-ANAMMOX工艺已成功运用于半导体废水 $^{[5]}$ 、养猪废水 $^{[6]}$ 、污泥消化液 $^{[7]}$ 等含氨废水的脱氮处理.

亚硝化菌(ammonia oxidizing bacteria, AOB)和ANAMMOX菌的最适宜温度在30~35℃之间<sup>[8,9]</sup>.为了保证 PN-ANAMMOX 联合工艺高效稳定的运行,一般采用加热的方式保证反应器内的最适温度.

因此,温度不仅是 PN 和 ANAMMOX 过程的重要控制参数,也是联合工艺运行过程中耗能最大的因素之一<sup>[10]</sup>. 为了降低能耗,使得 PN-ANAMMOX 联合工艺能够运用于气候比较低的寒冷地区,一些研究者也在常温甚至低温的环境下成功地驯化出 PN、ANAMMOX 功能微生物,实现 PN-ANAMMOX 工艺联合脱氮<sup>[11,12]</sup>.

然而,中常温变化对 PN-ANAMMOX 联合工艺

收稿日期: 2016-05-03;修订日期: 2016-06-29

基金项目: 江苏省特色优势学科二期立项项目; 江苏省水处理技术 与材料协同创新中心项目; 苏州市分离净化材料与技术 重点实验室(SZS201512)

作者简介: 袁砚(1983~), 女, 硕士, 实验师, 主要研究方向为废水生物脱氮理论与应用, E-mail; crystal\_331@163.com

到底有多大影响,主要对哪个过程产生影响,对微生物群落的影响如何,目前鲜见报道.同时,针对我国南北气候的差异,在选取 PN-ANAMMOX 联合处理含氮废水时,常温乃至低温运行是否可取,如何解决低温对联合工艺的影响是需要解决问题.为此,本文选取中温(32℃)和常温(22℃),研究了 2 个温度变化对 PN-ANAMMOX 联合工艺脱氮能力及微生物群落的影响,并进一步分析了其对氮素转化过程主要影响,旨在为联合工艺运用于不同区域时提供理论参考.

#### 1 材料与方法

#### 1.1 试验装置

试验装置由有机玻璃制成(图1),总有效体积12.95 L,包括好氧区、厌氧区和沉淀区,体积分别为9.25、2.1、1.6 L. 运行过程中,初始 HRT 设定为4.52 h;将沉淀区出水回流至好氧区,回流比设定为8;连续流进水,流量由蠕动泵控制;通过微孔曝气盘提供溶解氧,曝气量由转子气体流量计控制;温度由水浴箱调控. 好氧区的 ORP 值控制在 120~150 mV,厌氧区 ORP 值在(-150±50) mV 区间波动,由 WTW 在线监控.

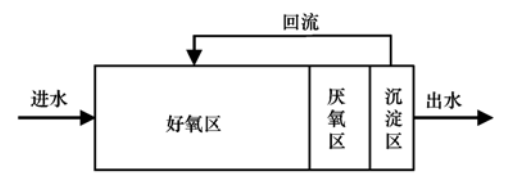


图 1 PN-ANAMMOX 联合工艺流程示意

Fig. 1 Schematic of the PN-ANAMMOX process

#### 1.2 接种污泥

目标基因

全菌(16S rRNA)

AOB(amoA)

NOB(nxrA)

ANAMMOX (16S rRNA)

好氧区接种的 PN 生物膜取自本实验室中温中试亚硝化反应器,亚硝化速率(ammonia conversion rate, ACR)  $0.2 \text{ kg} \cdot (\text{m}^3 \cdot \text{d})^{-1}$  左右,亚硝化率 60% 左右. 经过半个月的快速启动,出水 $\text{NO}_2^- \cdot \text{N/NH}_4^+ \cdot \text{N达到1左右. 满足ANAMMOX菌对基质利用要求,$ 

F1norA

R1 norA

ACR 稳定在 1 kg·(m³·d) <sup>-1</sup>左右,亚硝氮积累率 95%以上. 厌氧区接种 ANAMMOX 颗粒污泥取自本实验室长期运行的中温 ANAMMOX 反应器,主要细菌种类为 *Candidatus Brocadia sinica* (KP721346-KP721365),污泥呈现砖红色,VSS/SS: 0.22,氮负荷(nitrogen loading rate, NLR)5 kg·(m³·d) <sup>-1</sup>左右,TN 去除率稳定维持在 80%以上.

#### 1.3 试验用水

本试验采用人工配水,其中NH<sub>4</sub><sup>+</sup>-N由 NH<sub>4</sub>HCO<sub>3</sub> 提供,无机碳源由 NaHCO<sub>3</sub> 提供. 矿物质元素组成 [13] 为: MgSO<sub>4</sub>·7H<sub>2</sub>O 0.3 g·L<sup>-1</sup>、KH<sub>2</sub>PO<sub>4</sub> 0.027 g·L<sup>-1</sup>、CaCl<sub>2</sub> 0.136 g·L<sup>-1</sup>、NaHCO<sub>3</sub> 按需投加. 微量元素 I、II 浓度分别为: 1.0 mL·L<sup>-1</sup>、1.25 mL·L<sup>-1</sup>、微量元素 I 成分 (g·L<sup>-1</sup>) 为: FeSO<sub>4</sub> 5、EDTA 5;微量元素 II 成分 (g·L<sup>-1</sup>) 为: EDTA 5、CuSO<sub>4</sub>·5H<sub>2</sub>O 0.25、ZnSO<sub>4</sub>·7H<sub>2</sub>O 0.043、MnCl<sub>2</sub>·4H<sub>2</sub>O 0.99、CoCl<sub>2</sub>·6H<sub>2</sub>O 0.24、H<sub>3</sub>BO<sub>4</sub> 0.014、NaMoO<sub>4</sub>·2H<sub>2</sub>O 0.22、NaSeO<sub>4</sub>·10H<sub>2</sub>O 0.2. 进水 pH值为 7.8~8.2,1 mol·L<sup>-1</sup> HCl 或投加 NaHCO<sub>3</sub>调节.

#### 1.4 分析项目与测定方法

#### 1.4.1 常规项目

指标测定方法均按照文献[14].  $NH_4^+$ -N: 钠氏试剂分光光度法;  $NO_2^-$ -N、 $NO_3^-$ -N: 离子色谱法; pH、ORP 和 T: WTW 在线监测仪; 悬浮质 SS、挥发性悬浮质 VSS: 重量法.

#### 1.4.2 实时荧光定量 PCR 分析

本研究采用基于 SYBR Green II 法的实时荧光 定量 PCR 对反应器启动前后功能微生物群落进行 了定量分析,主要功能菌包括AOB、亚硝酸盐氧化菌(nitrite oxidizing bacteria, NOB)及 ANAMMOX 菌. 定量 PCR 所采用的引物如表 1 所示. 采用 Eppendorf 扩增仪对上述功能菌群进行定量扩增. 扩增体系为10 μL,包括5 μL 2xSYBR Green ExTaq

57

表 1 AOB、NOB、ANAMMOX 菌和全菌 PCR 扩增中采用的引物
Table 1 PCR primers targeting at AOB, NOB, ANAMMOX and the total bacteria

引物	序列(5′-3′)	退火温度/℃
341f	CCTACGGGAGGCAGCAG	60
518r	ATTACCGCGGCTGCTGG	00
Amx809	Of GCCGTAAACGATGGGCACT	60
Amx106	6r AACGTCTCACGACACGAGCTG	00
amoAf	GGGGTTTCTACTGGTGGT	57
amoAr	CCCCTCKGSAAAGCCTTCTTC	31

CAGACCGACGTGTGCGAAAG

TCYACAAGGAACGGAAGGTC

Mix, 0. 25 μL 正反向引物 (20 mmol·L<sup>-1</sup>)、1 μL DNA 模板、3.5 μL ddH<sub>2</sub>O. 试验步骤及操作均参照 文献[15,16]. 为了确保数据的可靠性,每个污泥样 品设置 3 组平行. 目标菌种的定量标准曲线  $R^2$  均大于 0. 99, 扩增效率处于 90% ~110%.

#### 1.5 试验方法

采用模拟高氨废水,在稳定运行的 PN 基础上接种 ANAMMOX 颗粒污泥,实现联合脱氮. 试验主要分为 2 个阶段. 阶段 1 温度控制在 22% 左右,阶段 2 控制在 32% 左右. 考察 PN 的稳定情况以及 ANAMMOX 的氮素去除情况.

本研究所涉及到的氮素转化计算公式如下,进水氨氮负荷、去除速率均以容积负荷表示.

$$\Delta N = [NH_{4}^{+}-N]_{inf} - \{[NH_{4}^{+}-N]_{eff} + [NO_{2}^{-}-N]_{eff} + [NO_{3}^{-}-N]_{eff} \}$$
(1)  

$$ACR_{a} = \{[NH_{4}^{+}-N]_{inf} - [NH_{4}^{+}-N]_{eff} - \Delta N/2.3 - [NO_{3}^{-}-N]_{eff} + 0.26\Delta N/2.3 \} / HRT_{a}$$
(2)

$$NRR_{ana} = \Delta N / HRT_{ana}$$
 (3)

$$NRR_{T} = \Delta N / HRT_{T}$$
 (4)

FA 浓度(以 N 计)按如下公式计算[17]:

[FA] = 
$$\frac{[NH_4^+-N] \times 10^{pH}}{\exp[6334/(273 + T)] + 10^{pH}}$$
 (5)

式中,  $\Delta N$  为进出水 TN 差值, 单位  $mg \cdot L^{-1}$ ;  $[NH_4^+ - N]_{inf}$ 、 $[NH_4^+ - N]_{eff}$  表示进出水  $NH_4^+ - N$ 浓度  $ACR_a$  表示亚硝化速率、 $NRR_{ana}$  表示 ANAMMOX 区 氮素去除速率、 $NRR_T$  表示整体的氮素去除速率,单

位均为 $kg \cdot (m^3 \cdot d)^{-1}$ ;  $HRT_a \setminus HRT_{ana} \setminus HRT_T$  表示好氧区、ANAMMOX 区以及整体的水力停留时间,单位 d; T 为温度,单位  $\mathbb{C}$ .

#### 2 结果与讨论

2.1 中常温变化对 PN-ANAMMOX 联合工艺的影响 由于直接接种相应的功能微生物,所以试验初 期 PN-ANAMMOX 联合工艺就实现了高效的脱氮. 由图 2 可知,阶段 1,运行至第 2 d,TN 去除率上升 较为明显, 出水NH<sub>4</sub>+-N浓度降低到 18.96 mg·L<sup>-1</sup>. 随后进水NH4+N浓度经历了2次提升,当浓度提高 至330 mg·L<sup>-1</sup>左右,出水NH<sub>4</sub>-N浓度升高至50 mg·L<sup>-1</sup>左右,TN 去除率呈现下降趋势;当浓度提高 至 380 mg·L<sup>-1</sup> 左右, 出水 NH<sub>4</sub> -N 浓度高达 140 mg·L-1左右,TN 去除率降低至55%左右. 为了避 免 FA 浓度过高对 ANAMMOX 菌产生影响[18],随后 将 HRT 由 4.52 h 延长至 5.43 h, 出水NH<sub>4</sub> -N浓度 仍然较高,从第 19 d 开始降低进水NH, -N浓度至 280 mg·L-1左右,出水NH,+-N浓度有所下降,但是仍 然达到80 mg·L-1左右. 继续降低进水NH4-N浓度 至 200 mg·L<sup>-1</sup> 左右, 出水 NH<sub>4</sub> -N 浓度稳定在 50 mg·L-1左右,TN 去除率维持在65%左右. 此阶段 联合工艺的 NRR 由初期的 1 kg·(m³·d) -1逐渐下 降,最终稳定在 0.5 kg·(m³·d) <sup>-1</sup>左右. Vázquez-Padín 等<sup>[19]</sup>在 20℃的条件下启动 PN-ANAMMOX 联 合工艺,最大脱氮速率 0.7 kg·(m³·d)<sup>-1</sup>. Lotti

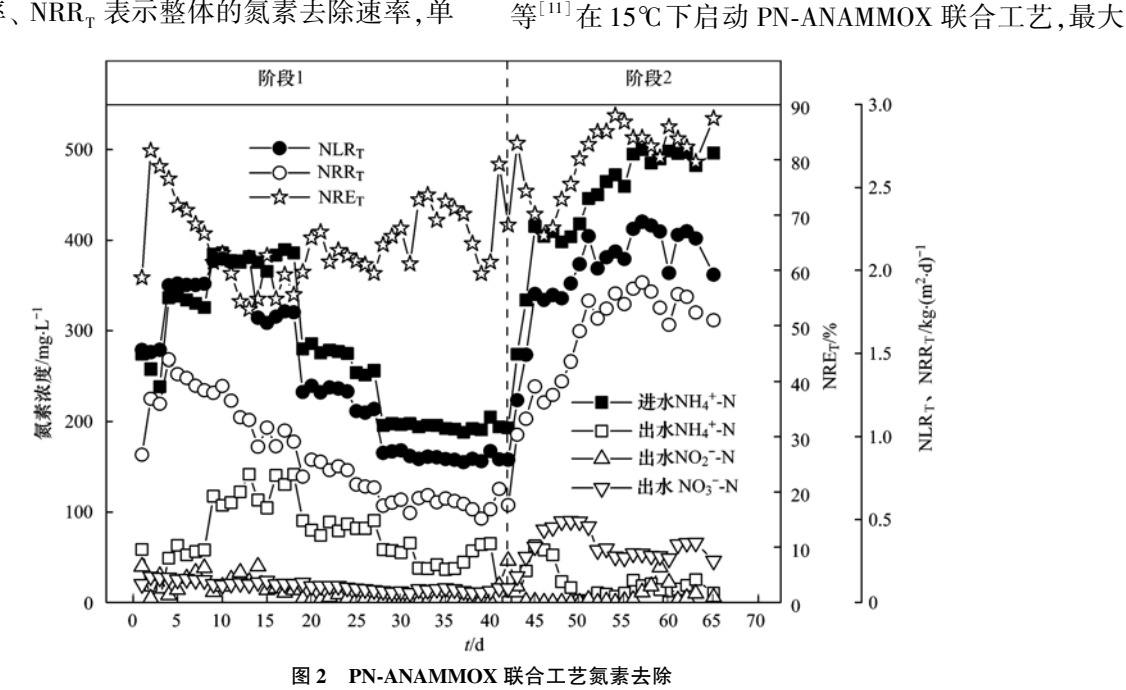


Fig. 2 Nitrogen removal performance of the PN-ANAMMOX process

脱氮速率仅 $0.4 \text{ kg} \cdot (\text{m}^3 \cdot \text{d})^{-1}$ . 因此,常温虽然能够 实现 PN-ANAMMOX 工艺的联合脱氮,但是脱氮速 率均比较低,还易导致出水水质恶化.

阶段 2,从 41~65 d,将温度提高至 32℃左右, PN-ANAMMOX 脱氮能力增强,第41 d 出水NH<sub>4</sub>-N 浓度下降至 6.05 mg·L-1,随后不断提高进水 NH<sub>4</sub>-N浓度. 运行至第 50 d, 当进水NH<sub>4</sub>-N浓度提 升至 450 mg·L<sup>-1</sup>左右, 出水NH<sub>4</sub> -N浓度仍处于 10 mg·L-1以下,TN 去除率上升趋势较为明显,高达 87.98%,运行较为良好. 随后进水NH<sub>4</sub>+N浓度维持 在 500 mg·L<sup>-1</sup>左右,运行较为稳定,TN 去除率达到 80%以上. 整体 NRR 得到了恢复,并超过初期水 平,达到 1.75 kg·(m³·d) -1左右,是常温下稳定运 行时最低脱氮速率的 3.5 倍. Qiao 等<sup>[20]</sup>在 35℃下 启动 PN-ANAMMOX 联合工艺,其最大脱氮速率达 到 1. 69 kg·(m³·d) <sup>-1</sup>. Sliekers 等<sup>[21]</sup>在 32℃下启的 单一的部分 PN-ANAMMOX 联合工艺,其最大脱氮 速率达到  $1.42 \text{ kg} \cdot (\text{m}^3 \cdot \text{d})^{-1}$ . 说明在中温的条件 下,AOB 和 ANAMMOX 菌的活性比较高,更有利于 PN-ANAMMOX 脱氮速率的发挥.

#### 2.2 中常温度变化对亚硝化区的影响及控制

温度对亚硝化区的影响主要表现在影响 AOB、 NOB 比生长速率. 温度高于 15℃, AOB 的生长速率 大于 NOB, 一般建议 PN 过程温度控制在 25℃以  $\perp^{[22]}$ .

在阶段 1,由于温度维持在 22℃ 时, AOB 活性 出现明显下降, 出水 $NH_4^+$ -N浓度升高,  $NO_2^-$ -N/ NH<sub>4</sub>-N比例下降, 最终稳定在 0.8 左右(图 3). ACR 由启动初期的  $1 \text{ kg} \cdot (\text{m}^3 \cdot \text{d})^{-1}$ 左右逐渐下降, 最终维持在 0.5 kg·(m³·d) -1 左右,下降幅度达到 50%. 但NO, -N积累率一直维持在99%以上,说明 NOB 未获得富集, PN 过程较为稳定. 阶段 2 将温度 控制在 32℃左右,是 AOB 较为适宜的温度范围. 亚 硝化能力快速增强,与此同时采用提高进水NH4-N 浓度的方式进行氮负荷提升,ACR 上升较为明显. 当进水NH<sub>4</sub> -N浓度提高到 500 mg·L<sup>-1</sup>左右 ACR 达 到 1.75 kg·(m³·d) <sup>-1</sup>左右. 与此同时出水NO<sub>2</sub> -N/ NH<sub>4</sub><sup>+</sup>-N在 1.3 左右,满足 ANAMMOX 反应配比.

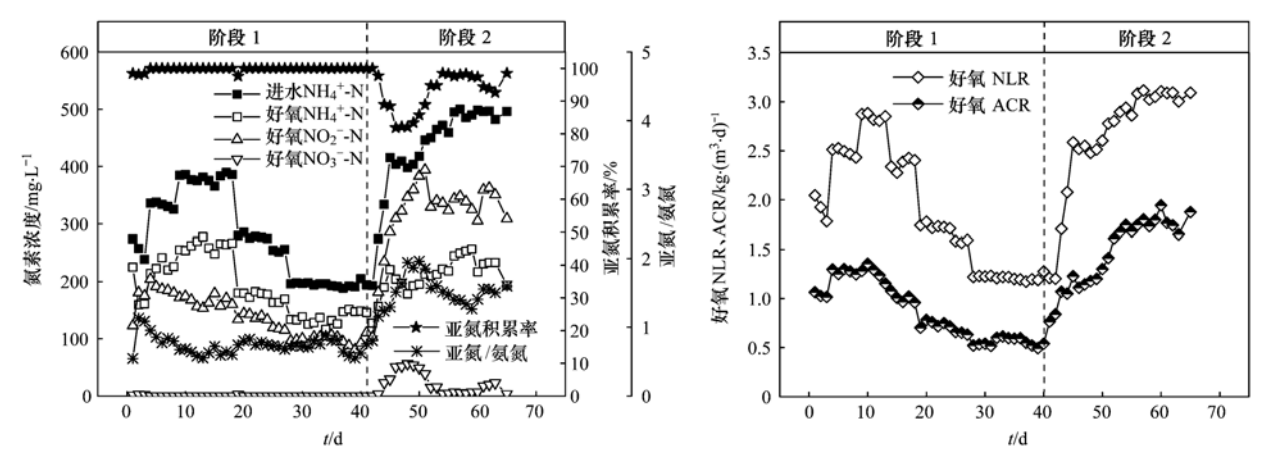


图 3 氮素浓度、负荷、去除速率以及亚硝氮积累率的变化

Fig. 3 Variations of nitrogen compounds concentration, NLR, NRR and nitrite accumulation rate

当反应器温度调到 32℃后,虽然 ACR 能力获 得快速提升,但发现出水NO;-N浓度出现了急剧升 高的现象. 亚硝氮积累率下降,低至81.85%,根据 PN-ANAMMOX 反应化学计量关系,产生的NO, -N 与NH<sub>4</sub> -N去除比的理论值为11%. 由图 4 可知,从 43 d 开始, NO<sub>3</sub>-N的占比升高, 高达 30%, PN 出现 了失稳现象. 分析其原因主要有两方面: 一是在负 荷提升过程中随着 ACR 能力增强,曝气量不断加 大,同时出水NH₄-N浓度降低,FA 对 NOB 的抑制能 力减弱,因此 NOB 有充足的氧和NO, -N作为营养基 质;另一方面,温度的上升,也有利于 NOB 的快速

的生长. 从第 45 d 开始,通过加大回流量来抑制 NOB 的活性. 本研究采用的联合工艺加大回流量具 有以下作用:回流量加快有利于 PN 过程中产生的 NO, -N及时被输送至厌氧区被 ANAMMOX 菌消耗, 从而避免好氧区出现的NO, -N积累, NOB 因缺乏基 质而被抑制; 好氧区 PN 过程 pH 下降, 厌氧区 ANAMMOX 反应 pH 上升,加大回流量可以加速厌 氧区与好氧区的 pH 调节,维持好氧区 pH,维持一 定的 FA 浓度来抑制 NOB[23]. 与此同时,通过提高 进水NH4+N浓度进行氮负荷提升,Yusof等[24]报道 提高进水NH,+-N负荷, AOB 将有更多的底物利用,

其生长速率加快. 在此阶段,出水NH<sub>4</sub>-N浓度升高 更有利于短程硝化的稳定<sup>[25]</sup>.

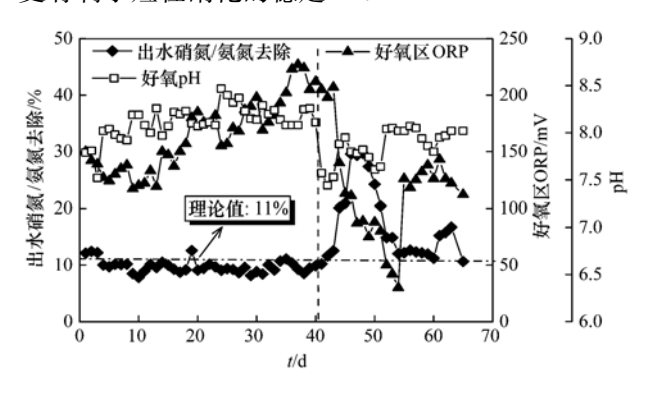


图 4 pH、ORP 以及出水硝氮与氨氮去除占比的变化

Fig. 4 Changes of pH , ORP and NO  $_3^-$  -N  $_{\rm produced}/$  NH  $_4^+$  -N  $_{\rm consumed}$  ratio

在 PN 失稳过程中,由于硝化作用的发生,碱度出现过度消耗,不足以维持厌氧区的酸碱环境,好氧区 pH 值也出现了波动,下降至 7.5 以下.本研究采用 ORP 作为好氧区 DO 的控制参数.在 PN 失稳期间,由于硝化过程耗氧量增大,出水 NO<sub>3</sub>-N升高,ORP 从 200 mV 急剧下降至 50 mV 以下.与 Kocamemi 等<sup>[26]</sup>的研究结果一致.实践表明,在运行过程中关注 ORP 的变化,可以直观地反映 PN 过程的运行情况.在运行过程中维持其稳定即可,避免大幅波动.

#### 2.3 中常温度变化对 ANAMMOX 反应的影响

厌氧区脱氮速率的变化如图 5 所示. 在阶段 1,温度 22℃左右,AOB 活性较 PN 启动阶段相比有所下降,ACR。的降低导致  $NO_2^-$ -N的供给不足使得ANMMOX 菌处于饥饿状态,ANAMMOX 菌脱氮能力下降,最终稳定在 3.5 kg·(m³·d)  $^{-1}$ 左右. 据报道ANAMMOX 反应最为适宜的温度在中温条件,最佳控制在 35℃左右  $^{[18]}$ . 阶段 2,将温度提高至 32℃左右,亚硝化能力恢复,ANAMMOX 菌的 NRR 也随之上升,NRR ana 最高达到  $^{11}$  kg·(m³·d)  $^{-1}$ 左右.

另外从图 2 可知,在阶段 1 出水NO<sub>2</sub>-N并未出现积累的现象,说明在短期内 ANAMMOX 菌 NRR的降低主要是因为基质供给不足所导致的. PN 作为 ANAMMOX 反应的限制性步骤,PN 过程亚硝化能力大小对整体的脱氮速率起到决定性作用. 温度作为 PN 过程重要控制因子,温度的变化容易对其稳定性以及转化速率产生影响,进而影响整个联合工艺的脱氮速率.

在实际运行过程中,低温虽然能够实现 PN-

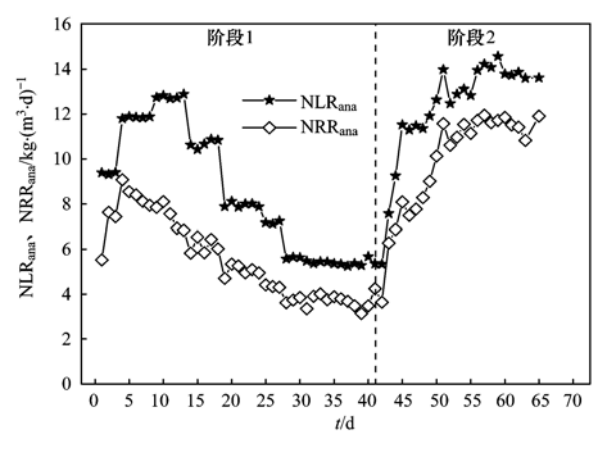


图 5 厌氧区氮素负荷和去除速率的变化

Fig. 5 Variations of  $NLR_{ana}$  and  $NRR_{ana}$ 

ANAMMOX 联合脱氮,但是并不能使得 PN-ANAMMOX 工艺的微生物充分发挥氮素转化能力.在气候比较低的地区,采用联合工艺进行废水脱氮时应尽可能地保证适宜的温度.在无法满足最适宜温度的地区,为了保证 ANAMMOX 微生物的脱氮速率,在好氧区与厌氧区的体积配比上应尽可能地扩大,以保证厌氧区有充足的基质供应.

#### 2.4 各区域功能微生物的定量分析

取 PN-ANAMMOX 联合运行第 1、40 和 56 d 的 污泥样品,污泥均取自反应器中部区域,对其中的 AOB、NOB 和 ANAMMOX 菌进行定量分析,结果图 6 所示.

由于接种的污泥为成熟的 PN 和 ANAMMOX 污泥,所以不同污泥中的主要微生物基本是相应的功能微生物. 亚硝化区的微生物基本以 AOB 为主,同时含有部分 NOB 和 ANAMMOX 菌. ANAMMOX 污泥中的微生物基本为 ANAMMOX 菌,同时也含有部分 AOB 和 NOB,说明所接种的污泥为混培物,只是相应的功能菌占主导地位,因此后续运行条件控制不好可能会引起非功能菌的快速生长,从而导致反应器脱氮速率失稳.

在常温的条件下,运行至40 d,联合工艺的脱氮速率下降了50%,由 QPCR 分析发现,此时好氧区的所有微生物也出现了大量的死亡,其中功能菌AOB 菌的基因拷贝数由接种初期的 $6.03\times10^8$  copies·g<sup>-1</sup>下降到 $3.03\times10^6$  copies·g<sup>-1</sup>,而厌氧区的 ANAMMOX 菌基因拷贝数也由 $1.76\times10^9$  copies·g<sup>-1</sup>下降到 $1.26\times10^7$  copies·g<sup>-1</sup>,进一步说明接种的PN和ANAMMOX污泥中的微生物在常温下不适应环境,出现死亡.

将反应器运行至中温时,好氧区的主导功能菌

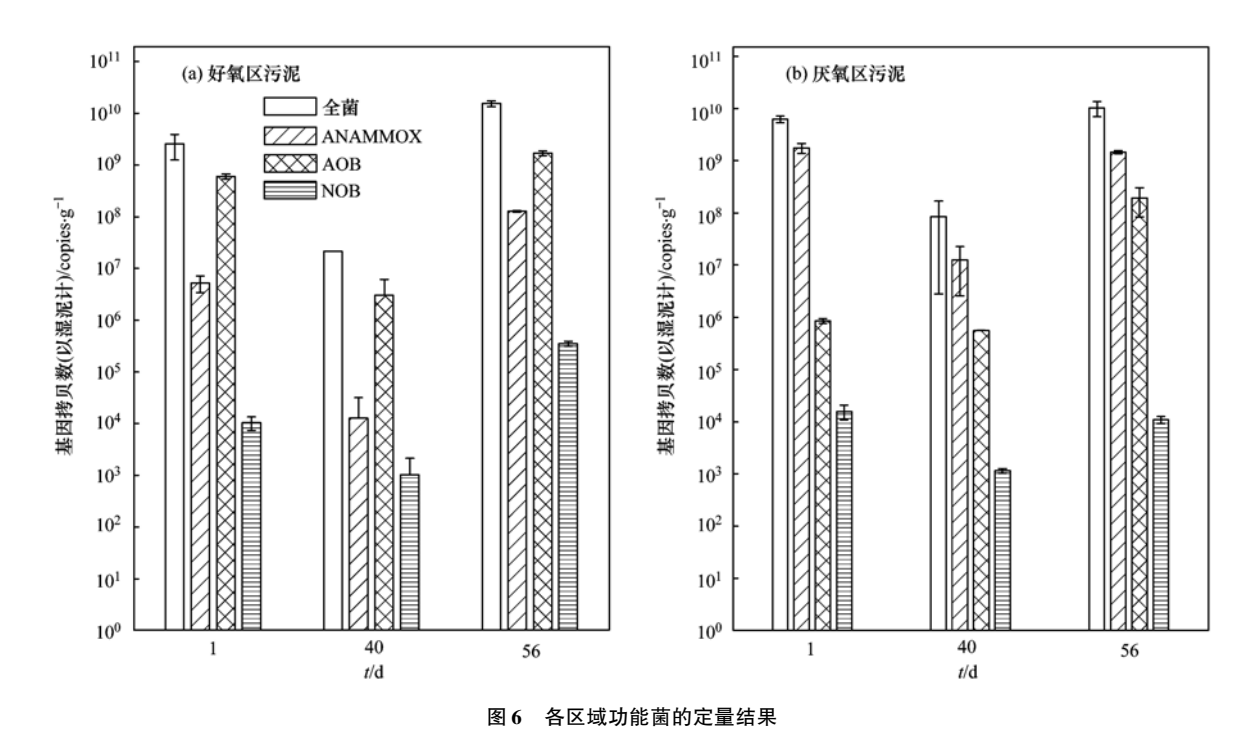


Fig. 6 Quantification of the functional bacteria in each area

AOB 出现快速生长,增长量达到接种时的 3 倍,基 因拷贝数达到 10°数量级,占据主导地位. 虽然 NOB 也出现一定量的增长,但是与 AOB 相比基因 拷贝数仍然相差4个数量级,说明在运行过程中仍 受到较好的抑制. 由于本研究 PN 采用的是生物膜 法, 膜内部厌氧环境有利于 ANAMMOX 菌的增殖, 同时在好氧区污泥中 ANAMMOX 菌基因拷贝数也 达到了108数量级. 较厌氧区 ANAMMOX 菌基因 拷贝数 10° 数量级仍相差 10 倍之多. 即在好氧区 主导功能菌仍然是 AOB. 厌氧区颗粒污泥系统 中, ANAMMOX 菌的基因拷贝数恢复到 10°数量 级,仍占据主导功能菌的地位. 但是 AOB 的数量 增长了2个数量级,出现此现象可能是因为:一方 面好氧区的生物膜脱落随水流入厌氧区,从而包 裹在 ANAMMOX 颗粒污泥表面,使得 AOB 数量上 升;另一方面好氧区的微氧环境,会带入部分 DO 进入厌氧区,导致厌氧区部分 AOB 增殖. 但是在 厌氧区仍然以 ANAMMOX 菌占据主导功能菌的地 位.

#### 3 结论

(1) 在常温(22℃)的条件下能够实现 PN-ANAMMOX 工艺联合脱氮,但是因温度未达到 AOB和 ANAMMOX 菌的最适需求,联合工艺的脱氮速率由  $1 \text{ kg} \cdot (\text{m}^3 \cdot \text{d})^{-1}$ 下降到  $0.5 \text{ kg} \cdot (\text{m}^3 \cdot \text{d})^{-1}$ ; 当温

度恢复到中温(32 $^{\circ}$ )后,联合工艺的脱氮速率迅速 升高到 1.75 kg·(m³·d)  $^{-1}$ .

- (2)由 QPCR 分析控制,常温(22℃)的条件下不利于 AOB 和 ANAMMOX 微生物生长,中温环境的功能微生物在常温条件下会出现大量死亡.中温条件下,AOB 和 ANAMMOX 微生物的基因拷贝数在好氧和厌氧环境分别出现快速增多,说明微生物出现快速增长.
- (3)温度升高后,NOB 的活性会迅速提高,导致PN 过程失稳. 通过提高出水回流量的方式可以有效地控制 NOB 的增殖.

#### 参考文献:

- [1] 唐崇俭, 郑平, 陈建伟, 等. 基于基质浓度的厌氧氨氧化工艺运行策略[J]. 化工学报, 2009, **60**(3): 718-725.

  Tang C J, Zheng P, Chen J W, *et al.* Performance of ANAMMOX process with different operation strategies based on substrate concentration [J]. Journal of Chemical Industry and Engineering, 2009, **60**(3): 718-725.
- [2] Strous M, Van Gerven E, Zheng P, et al. Ammonium removal from concentrated waste streams with the anaerobic ammonium oxidation (Anammox) process in different reactor configurations [J]. Water Research, 1997, 31(8): 1955-1962.
- [ 3 ] Shalini S S, Joseph K. Start-up of the SHARON and ANAMMOX process in landfill bioreactors using aerobic and anaerobic ammonium oxidising biomass [ J ]. Bioresource Technology, 2013, 149: 474-485.
- [4] Hwang I S, Min K S, Choi E, et al. Nitrogen removal from piggery waste using the combined SHARON and ANAMMOX process [J]. Water Science and Technology, 2005, 52 (10-11): 487-494.

- [5] Takaaki T, Yamauchi H, Nishimura S, et al. Application of the nitritation and anammox process into inorganic nitrogenous wastewater from semiconductor factory [J]. Journal of Environmental Engineering, 2011, 137(2): 146-154.
- [6] Yamamoto T, Takaki K, Koyama T, et al. Long-term stability of partial nitritation of swine wastewater digester liquor and its subsequent treatment by Anammox[J]. Bioresource Technology, 2008, 99(14): 6419-6425.
- [7] Van Der Star W R L, Abma W R, Blommers D, et al. Startup of reactors for anoxic ammonium oxidation: experiences from the first full-scale anammox reactor in Rotterdam [J]. Water Research, 2007, 41(18): 4149-4163.
- [8] Gabarró J, Ganigué R, Gich F, et al. Effect of temperature on AOB activity of a partial nitritation SBR treating landfill leachate with extremely high nitrogen concentration [J]. Bioresource Technology, 2012, 126; 283-289.
- [ 9 ] Daverey A, Chei P C, Dutta K, et al. Statistical analysis to evaluate the effects of temperature and pH on anammox activity [ J ]. International Biodeterioration & Biodegradation, 2015, 102: 89-93.
- [10] 崔剑虹,李祥,黄勇. 部分亚硝化-厌氧氨氧化工艺联合形式、应用及脱氮效能评析[J]. 化工进展,2015,34(8):3142-3146.

  Cui J H, Li X, Huang Y. Evaluation of combination, application and nitrogen removal efficiency of partial nitritation-anammox process[J]. Chemical Industry and Engineering Progress, 2015,34(8):3142-3146.
- [11] Lotti T, Kleerebezem R, Hu Z, et al. Simultaneous partial nitritation and anammox at low temperature with granular sludge [J]. Water Research, 2014, 66: 111-121.
- [12] Winkler M K H, Kleerebezem R, van Loosdrecht M C M. Integration of anammox into the aerobic granular sludge process for main stream wastewater treatment at ambient temperatures [J]. Water Research, 2012, 46(1): 136-144.
- [13] van De Graaf A A, de Bruijn P, Robertson L A, et al.

  Autotrophic growth of anaerobic ammonium-oxidizing microorganisms in a fluidized bed reactor [J]. Microbiology, 1996,

  142(8): 2187-2196.
- [14] 杨朋兵,李祥,黄勇,等. 苯酚对厌氧氨氧化污泥脱氮效能长短期影响[J]. 环境科学, 2015, **36**(10): 3771-3777.

  Yang PB, Li X, Huang Y, et al. Short or long term influence of phenol on nitrogen removal efficiency of ANAMMOX sludge[J]. Environmental Science, 2015, **36**(10): 3771-3777.
- [15] Shu D T, He Y L, Yue H, et al. Metagenomic insights into the effects of volatile fatty acids on microbial community structures and functional genes in organotrophic anammox process [J].

- Bioresource Technology, 2015, 196: 621-633.
- [16] 储昭瑞. 厌氧氨氧化反应器启动及微生物群落结构解析 [D]. 哈尔滨: 哈尔滨工业大学, 2012. Chu Z R. Study on the start-up of anammox rezetor and microbial community analysis [D]. Harbin: Harbin Institute of Technology, 2012.
- [17] Park S, Bae W, Rittmann B E. Operational boundaries for nitrite accumulation in nitrification based on minimum/maximum substrate concentrations that include effects of oxygen limitation, pH, and free ammonia and free nitrous acid inhibition [J]. Environmental Science & Technology, 2010, 44(1): 335-342.
- [18] Jaroszynski L W, Cicek N, Sparling R, et al. Impact of free ammonia on anammox rates (anoxic ammonium oxidation) in a moving bed biofilm reactor [J]. Chemosphere, 2012, 88(2): 188-195.
- [19] Vázquez-Padín J R, Fernández I, Morales N, et al. Autotrophic nitrogen removal at low temperature [J]. Water Science and Technology, 2011, 63(6): 1282-1288.
- [20] Qiao S, Tian T, Duan X M, et al. Novel single-stage autotrophic nitrogen removal via co-immobilizing partial nitrifying and anammox biomass [J]. Chemical Engineering Journal, 2013, 230: 19-26.
- [21] Sliekers A O, Third K A, Abma W, et al. CANON and anammox in a gas-lift reactor [J]. FEMS Microbiology Letters, 2003, 218(2): 339-344.
- [22] Paredes D, Kuschk P, Mbwette T S A, et al. New aspects of microbial nitrogen transformations in the context of wastewater treatment-a review[J]. Engineering in Life Sciences, 2007, 7 (1): 13-25.
- [23] 李祥,崔剑虹,袁砚,等. 高氨氮对具有回流的 PN-ANAMMOX 串联工艺的脱氮影响[J]. 环境科学, 2015, 36 (10): 3749-3755.
  Li X, Cui J H, Yuan Y, et al. Effect of high ammonium on nitrogen removal in an partial nitritation-ANAMMOX Process with reflux system [J]. Environmental Science, 2015, 36 (10): 3749-3755.
- [24] Yusof N, Hassan M A, Phang L Y, et al. Nitrification of ammonium-rich sanitary landfill leachate [ J ]. Waste Management, 2010, 30(1): 100-109.
- [25] Ma Y, Peng Y Z, Wang S Y, et al. Achieving nitrogen removal via nitrite in a pilot-scale continuous pre-denitrification plant [J]. Water Research, 2009, 43(3): 563-572.
- [26] Kocamemi B A, Dityapak D, Semerci N. Evaluation of pH, ORP and conductivity profiles in an Anammox reactor started-up using municipal activated sludge seed [J]. Current Opinion in Biotechnology, 2011, 22(S1): S38.

### **HUANJING KEXUE**

Environmental Science (monthly)

Vol. 37 No. 11 Nov. 15, 2016

### **CONTENTS**

Air Pollutant Emission Inventory and Impact of Typical Industries on PM <sub>2.5</sub> in Chengde	····· CHEN Guo-lei, ZHOU Ying, CHENG Shui-yuan, et al. (4069)
Pollution Characteristics and Emission Coefficient of Volatile Organic Compounds from Woodwork-making Industry in Zhejiang Province $\cdot$	
Emission Inventory of Anthropogenic VOCs and Its Contribution to Ozone Formation in Shanxi Province	
Characteristics and Source Apportionment of VOCs of High Pollution Process at Chemical Industrial Area in Winter of China	
Study and Application of Test Method for VOCs Emission Factor of Refueling in Service Station	
NH <sub>3</sub> Emission Characteristics in Landfill Sites in Beijing	
Inventory and Characteristics of Anthropogenic Ammonia Emission in Xi'an	······ SU Hang, YAN Dong-jie, HUANG Xue-min, et al. (4117)
Pollution Characteristics of Non-methane Hydrocarbons During Winter and Summer in Foshan City	
Water-soluble Inorganic Ions in the Road Ambient Atmospheric Particles of Tianjin	
Characteristics of Nitrogen Deposition in Daiyun Mountain National Nature Reserve	············ YUAN Lei ,LI Wen-zhou ,CHEN Wen-wei ,et al. (4142)
Microbial Activity in Bioaerosols in Winter at the Coastal Region of Qingdao	MENG Xiang-bin, LI Meng-zhe, LI Hong-tao, et al. (4147)
Molecular and Carbon Isotopic Compositions of n-Alkanoic Acids in Smoke from Maize Straw Combustion	
Gas Transfer Velocity of $\operatorname{CH}_4$ at Extremely Low Wind Speeds $\cdots$	······ ZHANG Cheng, LÜ Xin-biao, LONG Li, et al. (4162)
Spectral Characteristics of Chromophoric Dissolved Organic Matter (DOM) from a Typical Reservoir Lake from Inland of Three Gorges Re	servoir Areas: In the View of Riparian Ecosystem Analysis
	CHEN Xue-shuang, JIANG Tao, LU Song, et al. (4168)
Characteristics and Pollution Source Analysis of Nutrients in Tributary Outlets of Xitiaoxi Watershed	
Analysis of Driving Factors on the Nitrogen Decrease in the Early Stage of the Thermal Stratification in Main Area of Zhoucun Reservoir	
	ZHANG Chun-hua, HUANG Ting-lin, FANG Kai-kai, et al. (4187)
Characteristics of Organic Phosphorus Fractions in the Sediments of the Black Water Aggregation in Lake Taihu	
Impacts of Multiple Disturbance on Migration and Transformation of Endogenous Phosphorus in Lake	
Change of Soil Nitrogen Leaching with Summer Maize Growing Periods Under Plastic Film Mulched Cultivation in Danjiangkou Reservoir	
	WANG Wei, YU Xing-xiu, HAN Oiang, et al. (4212)
Nutrients Recovery on the Growth of Nitrogen and Phosphorus Starved Microcystis aeruginosa	
Inactivation Efficiency and Mechanism of Three Dominant Fungal Spores in Drinking Groundwater by Chlorine	
Effect of Water Treatment Process on the Bacterial Multidrug Resistance in Drinking Water	
Characteristics of Disinfection By-products and Genotoxicity During Drinking Water Disinfection with Potassium Monopersulfate Compound	
Heterogeneous Activation of Peroxymonosulfate with Three-dimensional Ordered Mesoporous $Co_3O_4$ for the Degradation of Rhodamine B $\cdot$	
Enhanced Mitigation of Membrane Fouling by Regulations on Floc Morphology in Electrocoagulation	
Effect of Initial pH on Nitrogen Removal Performance and N <sub>2</sub> O Emission of a Sequencing Batch CANON Reactor	
Operational Characteristics of the Simultaneous Nitrogen and Phosphorus Removal and Removal of Phthalate Esters by Three-dimensional	
operational distinctions of the community of the communit	
Phosphorus Removal Mechanism of Sulfur/Sponge Iron Composite Fillers Based on Denitrification	
Optimization of Denitrifying Phosphorus Removal Performance Based on ABR-MBR Combined Process	
Effect of Moderate and Room Temperature on Nitrogen Removal in PN-ANAMMOX Process	
Influence of Biological Activated Carbon on Simultaneous Nitrification and Denitrification in Inflow with Different C/N Ratios	
Biotransformation of Nitrate to Nitrogen Gas Driven by ANAMMOX Microbes via Zero-valent Iron Under Anaerobic Conditions	
A Comparative Study on Performance of an Intermittent Aeration SBR and a Traditional SBR for Treatment of Digested Piggery Wastewater	
Biological Pre-treatment of Surplus Sludge Using the Protease-secreting Bacteria	• • • • • • • • • • • • • • • • • • • •
Transfer and Fate of Polybrominated Diphenyl Ethers in an Electrical Equipment Dismantling Area Using a Multimedia Fugacity Model •	
Distribution Characteristics of Polycyclic Aromatic Hydrocarbons in Environmental Media in Nanning City	
PBDEs Levels in House Dust and Human Exposure to PBDEs via Dust Ingestion in Hangzhou	
Evaluating Biochar-Water Sorption Coefficients of Pharmaceutically Active Compounds by Using a Linear Free Energy Relationship	
Characteristics of Bacterial Communities in Surface-flow Constructed Wetlands	
Community Structure and Activity Analysis of the Nitrifiers in Raw Sewage of Wastewater Treatment Plants	• • • • • • • • • • • • • • • • • • • •
Effects of Fertilization on Soil Microbial Abundance and Community Structure at DNA and cDNA Levels in Paddy Soils	
Effects of Bisphenol A on Characteristics of Paddy Soil Microbial Community Under Different Cultural Conditions	
Identification of a Facultative Bacterium Strain with the Ability to Methylate Mercury Under Both Aerobic and Anaerobic Conditions	, 10, 0, 0,
Distribution Characteristics of Antibiotic Resistance Genes in Vegetable Soils in Beijing	
Distribution Characteristics of Antibiotic Resistance Genes in Sika Deer Farm	
Comparation of Toxic Effect of Silicious Mineral Dusts on Lung Epithelial A549 Cells	
Effect of Adding Compound Adsorbent on Phenanthrene and Cr(VI) Absorption by Lou Soil	
Effect of Biochar on Adsorption Behavior of Nonylphenol onto Loess Soil in Northwest China	
Soil Respiration in Response to Different Ridge/Furrow Ratios and Its Relationship with Soil Moisture and Temperature Under Ridge-Furrow	ow Planting Patterns
Effects of Straw in Combination with Reducing Fertilization Rate on Soil Nutrients and Enzyme Activity in the Paddy-Vegetable Rotation S	foils ······ HUANG Rong, GAO Ming, WAN Yi-lin, et al. (4446)

### 《环境科学》第6届编辑委员会

主 编:赵进才

副主编:赵景柱 郝吉明 田 刚

编 委: (按姓氏笔画排序)

万国江 王华聪 王凯军 王绪绪 田 刚 田 静 史培军

朱永官 刘志培 刘 毅 汤鸿霄 孟 伟 周宗灿 林金明

赵进才 赵景柱 姜 林 郝郑平 郝吉明 聂永丰 黄 霞

黄耀鲍强潘纲潘涛魏复盛

## 环维种草

#### (HUANJING KEXUE)

(月刊 1976年8月创刊)

2016年11月15日 第37卷 第11期

#### ENVIRONMENTAL SCIENCE

(Monthly Started in 1976)

Vol. 37 No. 11 Nov. 15, 2016

2010年11月15日 第57 包 第11 例				,
主管	中国科学院	Superintended	by	Chinese Academy of Sciences
主 办	中国科学院生态环境研究中心	Sponsored	by	Research Center for Eco-Environmental Sciences, Chinese
协 办	(以参加先后为序)			Academy of Sciences
	北京市环境保护科学研究院	Co-Sponsored	by	Beijing Municipal Research Institute of Environmental
	清华大学环境学院			Protection
主 编	赵进才			School of Environment, Tsinghua University
编辑	《环境科学》编辑委员会	Editor-in -Chief		ZHAO Jin-cai
- I-T	北京市 2871 信箱(海淀区双清路	Edited	by	The Editorial Board of Environmental Science (HUANJING
	18号,邮政编码:100085)			KEXUE)
	电话:010-62941102,010-62849343			P. O. Box 2871, Beijing 100085, China
	传真:010-62849343			Tel:010-62941102,010-62849343; Fax:010-62849343
	E-mail; hjkx@ rcees. ac. cn			E-mail; hjkx@ rcees. ac. cn
	http://www.hjkx.ac.cn			http://www.hjkx.ac.en
出 版	44 学业版社	Published	by	Science Press
_	北京东黄城根北街 16 号			16 Donghuangchenggen North Street,
	邮政编码:100717			Beijing 100717, China
印刷装订	北京北林印刷厂	Printed	by	Beijing Bei Lin Printing House
发 行	<b>斜学出版社</b>	Distributed	by	Science Press
	电话:010-64017032			Tel:010-64017032
	E-mail:journal@mail.sciencep.com			E-mail:journal@mail.sciencep.com
订 购 处	全国各地邮电局	Domestic		All Local Post Offices in China
国外总发行	总发行 中国国际图书贸易集团有限公司 Foreig			China International Book Trading Corporation (Guoji
	(北京 399 信箱)			Shudian), P. O. Box 399, Beijing 100044, China

中国标准刊号: ISSN 0250-3301 CN 11-1895/X

国内邮发代号: 2-821

国内定价:120.00元

国外发行代号: M 205

国内外公开发行